



## پتروژنر و سن سنجی رادیومتری $U-Pb$ زیرکن در گرانیت هریس (شمال غرب شبستر)، استان آذربایجان شرقی

مهران ادواری<sup>۱</sup>، جلیل قلمقاش<sup>۲</sup>

۱- دانشگاه آزاد اسلامی، واحد اهر

۲- سازمان زمین شناسی و اکتشافات معدنی کشور

(دریافت مقاله: ۸۸/۹/۲۸، نسخه نهایی: ۸۹/۳/۲۹)

**چکیده:** توده نفوذی هریس سازند کهر را قطع کرده و خود با رسوب‌های قاعده‌ی پرمین به صورت دگرشیبی آذرین پی پوشیده می‌شود. این توده ترکیب گرانیتی - قلایایی گرانیتی داشته و ماهیت متألومینیوس تا پرآلومینیوس ضعیف نشان می‌دهد. بی‌亨جاری منفی شدید Eu در نمودار REE نشانگر حضور پلازیوکلаз در سنگ خاستگاه و یا جدایش پلازیوکلاز در طول تکامل ماقمای تشکیل دهنده‌ی این سنگ‌هاست. بی‌亨جاری منفی شدید Ba و غنی شدگی‌های Rb و Th نسبت به Ta و Nb نشانگر خاستگاه پوسته‌ای آن-هast. این گرانیتها از نوع درون برگه‌ای و از نوع گرانیتها غیرکوهزایی (نوع A)، ارزیابی شده‌اند که از ذوب بخشی یک خاستگاه تونالیتی - گرانودیوریتی و در یک محیط کششی تشکیل شده‌اند. سال سنجی رادیومتری به روش  $U-Pb$  زیرکن، سن  $306 \pm 34$  میلیون سال را برای تبلور این سنگ‌ها به دست داده است. این سن با کشش‌های آغازین کافتزایی روی تختگاه پوسته‌ی قاره‌ای عربی - ایران سازگار است.

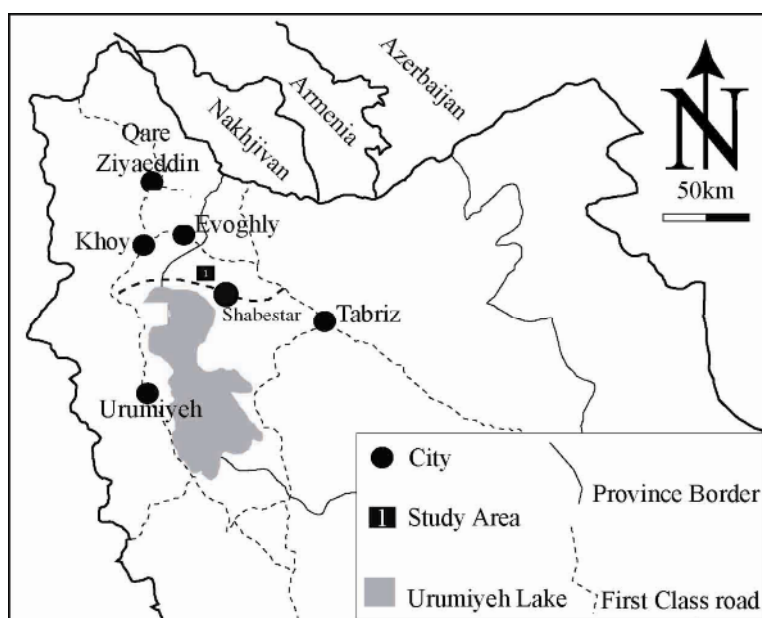
**واژه‌های کلیدی:** شبستر، گرانیت، ژئوشیمی، سن سنجی رادیومتری، زیرکن،  $U-Pb$ , SHRIMP

است و بر این اساس سن این توده به بسا کامبرین - پیش پرمین نسبت داده شده است [۲] هرچند پژوهشگران دیگر زمان تشکیل این توده را به اواخر کرتاسه و قبل از الیگو-میوسن نسبت داده‌اند [۳].

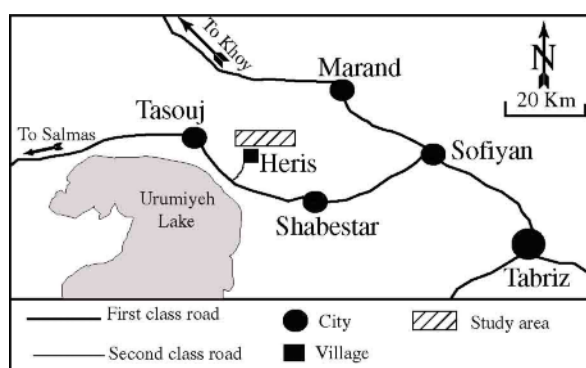
بنابر بررسی‌های [۳] ماهیت توده‌ی هریس از نوع آهکی-قلایایی پتاسیم بالاست. این پژوهشگران خاستگاه سنگ‌های نفوذی هریس را به ذوب بخشی پوسته‌ی تحتانی با ترکیب تونالیتی - گرانودیوریتی نسبت داده است. در این مقاله ما با ارائه نتایج سن سنجی رادیومتری اورانیم-سرب، زمان تشکیل توده‌ی هریس را تعیین خواهیم کرد.

### مقدمه

توده‌ی هریس در استان آذربایجان شرقی و در ۲۰ کیلومتری شمال غربی شهرستان شبستر واقع شده است (شکل ۱). این منطقه از شمال به ارتفاعات میشو و شهرستان مرند و از جنوب به روستای هریس و شهر شرفخانه و از غرب به شهرستان تسوج و از جنوب شرقی به شهرستان شبستر محدود می‌شود (شکل ۲). [۱] توده‌ی آذرین هریس را معادل با گرانیتها می‌شود در نظر گرفته است. این توده سازند کهر و دولومیت‌های سلطانیه را قطع و دگرگون کرده است. رسوب‌های قاعده‌ی پرمین روی سطح فرسایش یافته این توده‌ی آذرین جای گرفته



شکل ۱ موقعیت منطقه‌ی مورد بررسی در شمال غربی ایران و راههای اصلی دسترسی به آن.



شکل ۲ راههای دسترسی به منطقه‌ی مورد بررسی.

به روش ICP-MS به آزمایشگاه ALS-Chemex کانادا ارسال کردیم. به منظور تعیین سن رادیومتری گرانیت‌های مورد بررسی، کانی‌های زیرکن موجود در آن‌ها انتخاب و برای سن‌سنجی U-Pb به روش SHRIMP به آزمایشگاه ایزوتوبی سنت پیترزبورگ روسیه ارسال کردیم. در مرحله‌ی اول بیش از ۴۰ کانی زیرکن از گرانیت‌های مورد بررسی با بررسی‌های سنگ‌شناختی شناسایی شدند. سپس با بررسی‌های میکروسکوپی و تجزیه‌ی SEM درستی آن‌ها به اثبات رسید. این کانی‌ها برای تجزیه U-Pb زیرکن با استفاده از ریزپردازندۀ یونی مشخص و تعداد ۲۴ نقطه در ۱۹ بلور زیرکن در مرکز مطالعات ایزوتوبی VSEGEI تجزیه شدند.

همچنین با استفاده از نتایج بررسی‌های صحرایی و سنگ‌نگاری، ویژگی‌های کلی توده را ارائه خواهیم داد. در نهایت با نشان دادن نتایج دقیق تجزیه‌ی شیمیایی توده، و بحثی در ژئوشیمی عناصر اصلی و کمیاب توده‌ی هریس، نوع سنگ خاستگاه، نوع گرانیت و جایگاه زمین‌ساختی آن را تعیین می‌کنیم.

#### روش بررسی

در این پژوهش نخست در ابتدا حدود ۵۰ نمونه‌ی سنگی را به آزمایشگاه سنگ‌شناسی منتقل کردیم، و پس از تهیه‌ی مقاطع نازک میکروسکوپی و انتخاب نمونه‌های سالمتر با استفاده از میکروسکوپ، ۱۰ نمونه از آن‌ها را پس از خردایش و پودر کردن، برای آنالیز شیمیایی و اندازه‌گیری عناصر اصلی و کمیاب

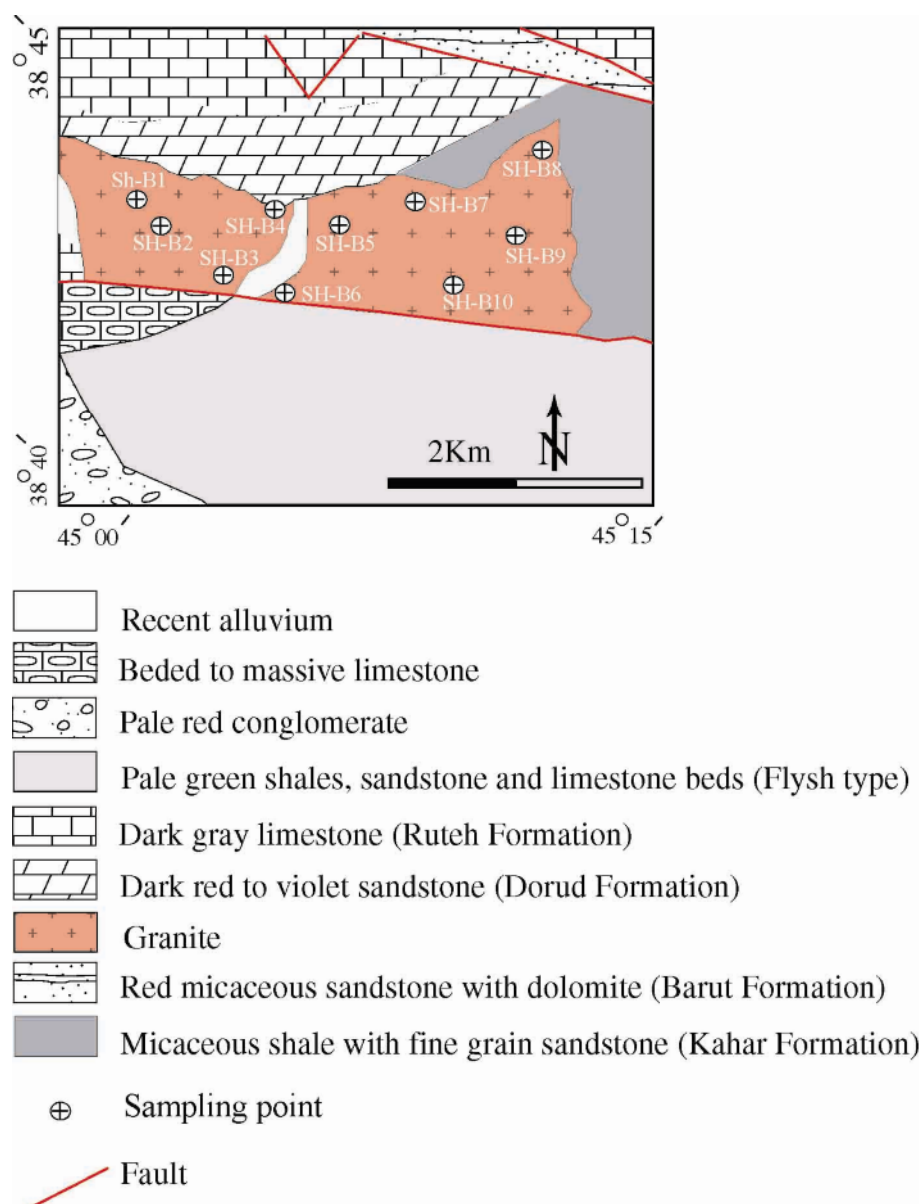
داشته و بیشتر ترکیب فلدوپار گرانیتی قلیابی دارند. هیچ نوع

برونبوم و یا دایکی در آن دیده نمی‌شود.

در این و دیگر نقاط هم‌جوار، رسوب‌های قاعده‌ی پرمین روی سطح فراسایش یافته‌ی این گرانیت جای گرفته‌اند. این گرانیت درشت دانه بوده و در نمونه‌ی دستی سرخ گوشتی یا صورتی دیده می‌شود. همچنانی در اثر فعالیت‌های زمین ساختی شدیداً خرد و تکتونیکی شده است، به‌طوری که در بیشتر قسمت‌ها به‌صورت ماسه گرانیتی دیده می‌شود. با توجه به شواهد یاد شده سن توده پسا کامبرین- پیش پرمین است.

### زمین‌شناسی

توده‌ی هریس بین سازنده‌ای وابسته به پرکامبرین پایانی و پالئوزوئیک جایگیر شده است (شکل ۳). سازند کهر به سن پرکامبرین در شرق گستره‌ی مورد بررسی بروزد زیادی دارد و لیتولوژی آن بیشتر به‌صورت شیل‌های میکدار، هورنفلس‌های لکه‌ای با میان لایه‌هایی از آهک بهرنگ روشن دگرگون شده و دولومیت تیره رنگ است. این سازند و سازند سلطانیه در اثر نفوذ توده‌ی گرانیتوئیدی دگرگون و به هورنفلس‌ها تبدیل شده‌اند. از نظر ترکیب سنگ‌شناختی این توده حالت همگن

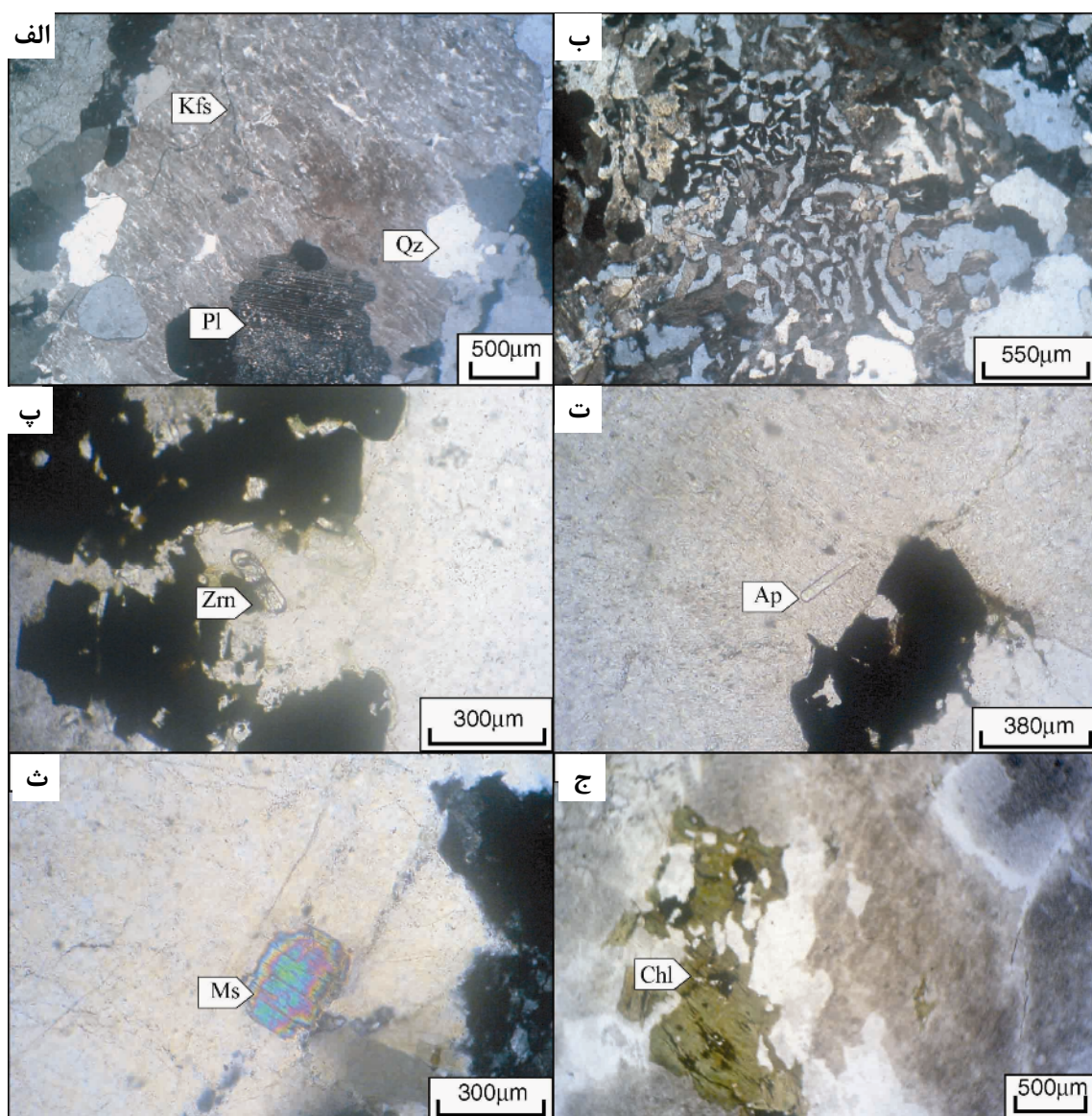


شکل ۳ نقشه زمین‌شناسی ساده شده منطقه‌ی مورد بررسی (اقتباس از نقشه ۱:۱۰۰۰۰۰ ورقه مرند).

را به خود اختصاص داده و به صورت بلورهای نیمه شکلدار ارتوپ پرتیتی نمایان هستند. فراوانی کانی کوارتز ۲۵ تا ۳۵ درصد بوده و به دو صورت آزاد و همرشدی با فلدسپار قلیایی دیده می‌شود. پلازیوکلاز کمتر از ۱۰ درصد، بیوتیت کمتر از ۵ درصد و زیرکن، آپاتیت و اپیدوت به مقدار کمتر از ۱ درصد در این سنگ‌ها حضور دارند. بر اساس رده‌بندی مدي سنگ‌های آذرین [۴] (نشان داده نشده) این سنگ‌ها از نوع فلدسپار گرانیت قلیایی هستند.

### سنگنگاری

کانی‌های اصلی تشکیل دهنده‌ی این سنگ‌ها شامل فلدسپار قلیایی و کوارتز بوده و کانی‌های فرعی آن‌ها شامل پلازیوکلاز، بیوتیت، زیرکن، آپاتیت و اپیدوت‌اند. از مهمترین کانی‌های ثانویه می‌توان به کائولینیت، سریسیت، کلریت و مسکوویت اشاره کرد (شکل ۴). بافت عمومی سنگ‌های مورد بررسی دانه‌دار بوده، بافت‌های همرشدی شامل بافت میکروپرتیتی و گرانوفیری نیز به وفور در این سنگ‌ها دیده می‌شوند (شکل ۴ الف و ب). فلدسپارهای قلیایی ۵۰ تا ۶۵ درصد حجمی سنگ



شکل ۴ تصاویر میکروسکوپی از توده‌ی گرانیتی هریس:

الف) بافت دانه‌ای و ریز پرتیتی، XPL. ب) بافت میکروگرافیکی، XPL. پ و ت) زیرکن و آپاتیت، PPL. ث) مسکوویت در گرانیت شبستر XPL. ج) کلریت‌های ناشی از دگرسانی بیوتیت، PPL.

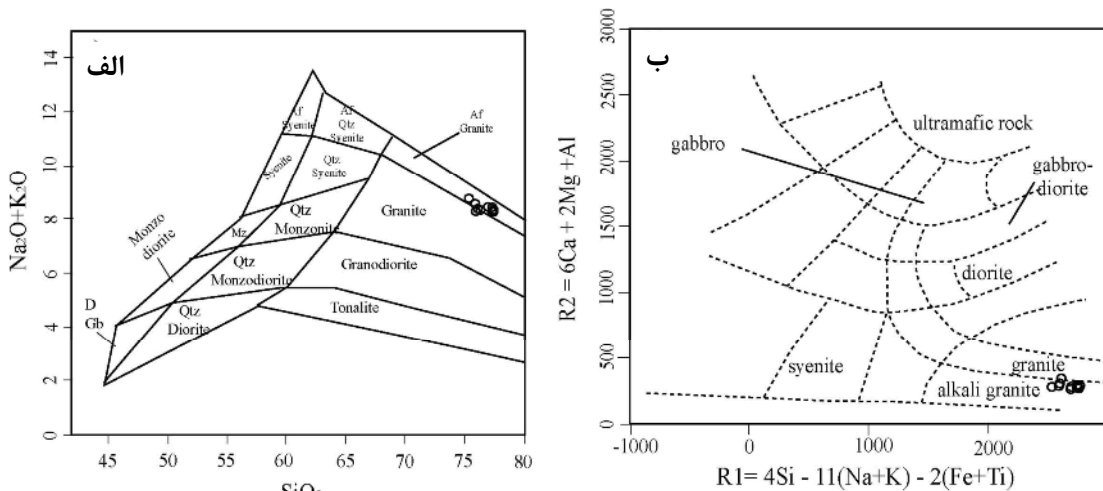
سنگ‌های آذرین مورد بررسی بر اساس رده‌بندی [۵] در گستره‌های فلدسپات گرانیت قلیایی و گرانیت قرار می‌گیرند. همچنین بر اساس رده‌بندی کاتیونی [۶] نمونه‌های مورد بررسی در گستره‌ی گرانیت قلیایی قرار دارند که با ویژگی‌های کانی‌شناسی و سنگی توده هماهنگ است.

### ژئوشیمی نامگذاری و ژئوشیمی عناصر اصلی

جدول ۱ نتایج حاصل از تجزیه‌ی شیمیایی ۱۰ نمونه از سنگ‌های آذرین مورد بررسی را که به روش ICP-MS صورت گرفته است، نشان می‌دهد. چنانکه در شکل ۵ دیده می‌شود،

جدول ۱ نتایج آنالیز شیمیایی ۱۰ نمونه از سنگ‌های آذرین مورد بررسی به روش ICP-MS

|                                  | Sh-B1 | Sh-B2 | Sh-B3 | Sh-B4 | Sh-B5 | Sh-B6 | Sh-B7 | Sh-B8 | Sh-B9 | Sh-B10 |
|----------------------------------|-------|-------|-------|-------|-------|-------|-------|-------|-------|--------|
| SiO <sub>2</sub>                 | ۷۷,۵  | ۷۷,۶  | ۷۷,۴  | ۷۶,۲  | ۷۶    | ۷۵,۴  | ۷۷    | ۷۶    | ۷۷,۴  | ۷۷,۴   |
| TiO <sub>2</sub>                 | ۰,۰۶  | ۰,۰۸  | ۰,۱۹  | ۰,۱۲  | ۰,۰۸  | ۰,۰۷  | ۰,۰۹  | ۰,۱۵  | ۰,۱۱  | ۰,۰۹   |
| Al <sub>2</sub> O <sub>3</sub>   | ۱۲,۱۵ | ۱۲,۱۵ | ۱۲,۳  | ۱۲,۲۵ | ۱۱,۹  | ۱۲,۲  | ۱۲    | ۱۲,۱  | ۱۱,۷۵ | ۱۲     |
| Fe <sub>2</sub> O <sub>3</sub> t | ۱,۱۲  | ۱,۰۲  | ۱,۵۴  | ۱,۴۵  | ۱,۱۲  | ۰,۹۹  | ۱,۰۳  | ۱,۵۱  | ۱,۲۶  | ۰,۹۷   |
| MnO                              | ۰,۰۱  | <۰,۰۱ | ۰,۰۱  | ۰,۰۱  | ۰,۰۱  | <۰,۰۱ | <۰,۰۱ | ۰,۰۱  | ۰,۰۱  | <۰,۰۱  |
| MgO                              | ۰,۰۴  | ۰,۰۵  | ۰,۰۶  | ۰,۳   | ۰,۱۶  | ۰,۰۳  | ۰,۰۳  | ۰,۲۲  | ۰,۱   | ۰,۰۵   |
| CaO                              | ۰,۴۸  | ۰,۲۹  | ۰,۳۱  | ۰,۷۵  | ۰,۵۶  | ۰,۳۷  | ۰,۲۹  | ۰,۴   | ۰,۳۲  | ۰,۳۵   |
| Na <sub>2</sub> O                | ۳,۶۹  | ۳,۴۸  | ۳,۱۸  | ۳,۸۲  | ۳,۹۲  | ۳,۳۷  | ۳,۵۳  | ۳,۴   | ۳,۲۷  | ۳,۵۱   |
| K <sub>2</sub> O                 | ۴,۵۵  | ۴,۸۴  | ۵,۱۵  | ۴,۵۱  | ۴,۳۹  | ۵,۳۸  | ۴,۹   | ۵,۱۵  | ۵,۱۴  | ۴,۸۸   |
| P <sub>2</sub> O <sub>5</sub>    | <۰,۰۱ | <۰,۰۱ | ۰,۰۱  | <۰,۰۱ | <۰,۰۱ | <۰,۰۱ | <۰,۰۱ | <۰,۰۱ | <۰,۰۱ | <۰,۰۱  |
| Cr <sub>2</sub> O <sub>3</sub>   | ۰,۰۲  | ۰,۰۳  | ۰,۰۲  | ۰,۰۲  | ۰,۰۲  | ۰,۰۲  | ۰,۰۲  | ۰,۰۳  | ۰,۰۲  | ۰,۰۳   |
| L.O.I.                           | ۰,۸۹  | ۰,۷۹  | ۱,۲   | ۱,۲۹  | ۱,۱   | ۰,۹۹  | ۰,۵   | ۰,۶   | ۰,۸   | ۰,۴    |
| total                            | ۹۹,۶۲ | ۹۹,۵۴ | ۹۹,۱۷ | ۹۹,۴۳ | ۹۸,۱۶ | ۹۷,۸۳ | ۹۸,۸۹ | ۹۸,۹۷ | ۹۹,۳۸ | ۹۹,۲۸  |
| La                               | ۴۱,۸  | ۴۶,۸  | ۸۳,۱  | ۶۲,۶  | ۵۵,۳  | ۶۰,۳  | ۷۷,۸  | ۵۳,۲  | ۵۵    | ۴۰     |
| Ce                               | ۸۲,۶  | ۹۰,۵  | ۱۵۵   | ۱۱۹   | ۱۰,۷  | ۱۰,۶  | ۱۳۵   | ۱۰,۵  | ۱۰,۸  | ۶۹,۲   |
| Pr                               | ۹,۴۷  | ۱۰,۶  | ۱۷,۸۵ | ۱۳,۲۵ | ۱۲,۰۵ | ۱۳,۴۵ | ۱۶,۰۵ | ۱۲,۱۵ | ۱۲    | ۸,۵۸   |
| Nd                               | ۳۱,۵  | ۳۶,۹  | ۵۹,۸  | ۴۲,۶  | ۳۹,۷  | ۴۶    | ۵۱,۹  | ۴۲,۵  | ۴۰,۶  | ۲۹,۱   |
| Sm                               | ۷,۷۴  | ۸,۰۲  | ۱۰,۸  | ۹,۲۷  | ۹,۰۶  | ۹,۹۷  | ۹,۴۷  | ۹,۲۲  | ۸,۲۳  | ۸,۰۹   |
| Eu                               | ۰,۱۶  | ۰,۱۷  | ۰,۵   | ۰,۲۲  | ۰,۱۸  | ۰,۱۹  | ۰,۲۱  | ۰,۳   | ۰,۲۲  | ۰,۱۸   |
| Gd                               | ۸,۶   | ۸,۶   | ۱۰,۷۵ | ۹,۸۱  | ۹,۸۵  | ۹,۶۵  | ۹,۳۵  | ۹,۴۸  | ۸,۳۱  | ۸,۲۶   |
| Tb                               | ۱,۶۷  | ۱,۳۵  | ۱,۸۱  | ۱,۷۴  | ۱,۸۶  | ۱,۵۲  | ۱,۳۸  | ۱,۶۶  | ۱,۳۹  | ۱,۳    |
| Dy                               | ۱۰,۰  | ۷,۶۴  | ۸,۶۱  | ۱۰,۰۵ | ۱۱,۹  | ۸,۴۷  | ۷,۲۷  | ۹,۷۶  | ۸,۴۵  | ۵,۸۶   |
| Ho                               | ۲,۱۹  | ۱,۴۹  | ۱,۷۸  | ۲,۲   | ۲,۴۸  | ۱,۶۵  | ۱,۳۸  | ۲,۰۱  | ۱,۷۲  | ۱,۱۱   |
| Er                               | ۶,۷۹  | ۴,۳۵  | ۵,۳   | ۶,۵۳  | ۷,۵۶  | ۴,۹۲  | ۳,۸۸  | ۵,۸۴  | ۵,۲۱  | ۳,۲۹   |
| Tm                               | ۱,۱۱  | ۰,۶۲  | ۰,۷۷  | ۰,۹۹  | ۱,۱۸  | ۰,۷۵  | ۰,۵۴  | ۰,۸۸  | ۰,۸۰  | ۰,۵۰   |
| Yb                               | ۷,۴۹  | ۴,۲۷  | ۴,۹۱  | ۶,۵۶  | ۷,۷۴  | ۵,۱۹  | ۳,۴۷  | ۵,۶۷  | ۵,۰۹  | ۳,۳۱   |
| Lu                               | ۱,۱   | ۰,۶۲  | ۰,۷۱  | ۰,۶۶  | ۱,۱۳  | ۰,۷۸  | ۰,۵   | ۰,۸   | ۰,۷۴  | ۰,۴۸   |
| Ba                               | ۲۱,۵  | ۲۶,۵  | ۱۵۱,۵ | ۴۲,۳  | ۳۲,۳  | ۲۳,۶  | ۲۱,۶  | ۷۶,۶  | ۶۹,۳  | ۲۷,۷   |
| Ga                               | ۲۳,۷  | ۲۱,۸  | ۲۰,۸  | ۲۴    | ۲۴,۴  | ۲۴    | ۲۰,۳  | ۲۱,۲  | ۲۰,۷  | ۲۰,۷   |
| Hf                               | ۸,۳   | ۴     | ۷,۳   | ۷,۷   | ۶,۸   | ۶,۹   | ۲,۴   | ۶,۱   | ۵,۳   | ۳,۹    |
| Nb                               | ۴۲,۸  | ۲۵,۸  | ۳۲,۳  | ۴۱,۹  | ۴۷,۱  | ۳۱,۲  | ۱۷,۹  | ۲۹,۷  | ۳۱,۹  | ۲۲,۸   |
| Pb                               | ۲۴    | ۱۱    | ۱۶    | ۱۴    | ۱۲    | ۱۴    | ۱۶    | ۱۹    | ۸     | ۱۶     |
| Rb                               | ۲۹۳   | ۲۰۷   | ۲۲۳   | ۲۶۷   | ۲۵۸   | ۲۳۲   | ۲۱۱   | ۲۳۰   | ۲۳۳   | ۲۱۱    |
| Sn                               | ۱۰    | ۶     | ۱۰    | ۱۱    | ۹     | ۶     | ۵     | ۶     | ۵     | ۵      |
| Sr                               | ۹     | ۱۲    | ۲۴,۸  | ۱۹,۵  | ۱۲,۴  | ۱۰,۵  | ۱۰,۸  | ۱۹    | ۱۴,۱  | ۱۶,۱   |
| Ta                               | ۴,۹   | ۳,۷   | ۲,۹   | ۴,۵   | ۵,۹   | ۵,۹   | ۲,۱   | ۲,۸   | ۲,۸   | ۳,۳    |
| Th                               | ۴۳,۲  | ۲۴,۸  | ۳۱,۲  | ۴۴    | ۴۲,۱  | ۴۴,۸  | ۳۱,۳  | ۳۰,۶  | ۳۲,۹  | ۲۷,۵   |
| Y                                | ۶۱,۹  | ۴۳,۷  | ۴۹,۱  | ۶۱,۹  | ۶۶,۲  | ۵۱    | ۳۹,۱  | ۵۲,۶  | ۴۷,۴  | ۲۲,۹   |
| Zr                               | ۱۶۴   | ۷۴    | ۲۰۵   | ۱۶۵   | ۱۲۴   | ۱۲۵   | ۴۸    | ۱۶۱   | ۱۲۶   | ۷۱     |

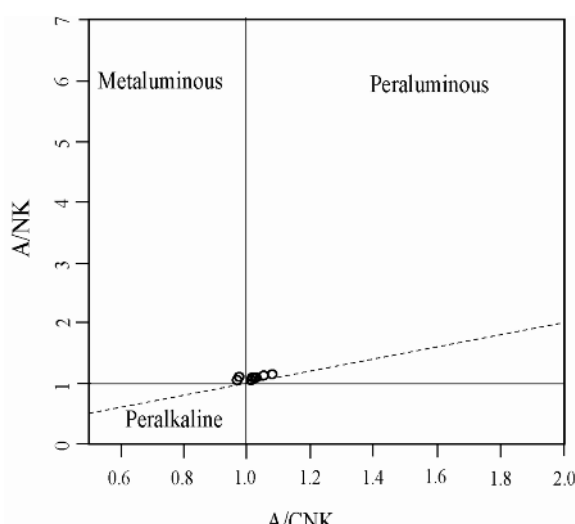


شکل ۵ رده‌بندی شیمیایی سنگ‌های آذرین مورد بررسی بر اساس الف [۵] ب [۶].

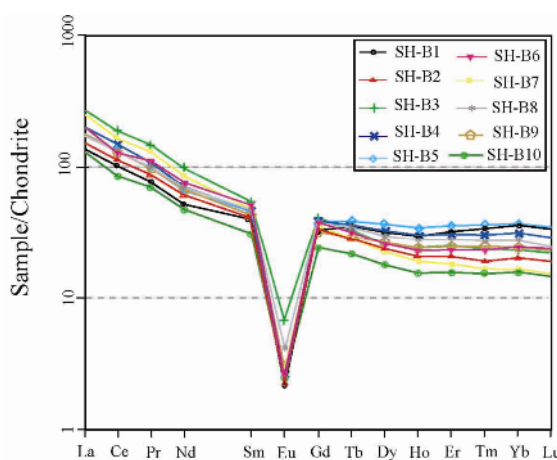
این سنگ‌ها بین ۳۶ تا ۱۴/۴۶ است. نمودار REE رسم شده برای گرانیت‌های مورد بررسی (شکل ۷) نشان می‌دهد که یک شیب منفی در نمودارهای REE وجود دارد. به عبارت دیگر غنی‌شدگی بالایی از عناصر نادر خاکی سبک و غنی‌شدگی پائین یا تهی‌شدگی از عناصر نادر خاکی سنگین را نشان می‌دهد. همچنین بی‌هنگاری منفی شاخص Eu در تمام نمونه‌ها دیده می‌شود که نشانگر حضور پلازیوکلаз در خاستگاه و یا جدایش پلازیوکلاز در طول تکامل مagma‌ای تشکیل دهنده‌ی این سنگ‌هاست. الگوی مسطح HREEs در سنگ‌های مورد بررسی (شکل ۷) نشان می‌دهد که ذوب بخشی نمی‌توانسته در اعماقی رخ داده باشد که گارنت در آن یک فاز پایدار باشد، این امر با پوسته نازک شده سازگاری دارد [۸].

بر پایه بررسی‌های صحرایی و سنگ‌نگاری، در ترکیب کانی‌شناسی این توده کانی‌های سرشار از آلومین (از قبیل کردیریت، گارنت و ...) وجود ندارد به همین دلیل سنگ‌های توده شبیه آلومین به نظر می‌رسند. برای بررسی شاخص اشباع از آلومین سنگ‌های گرانیتی مورد بررسی از نسبت‌های مولی A/CNK به A/NK استفاده شده است. بر این اساس نمونه‌های مورد بررسی ماهیت شبیه آلومینوس و پرآلومینوس ضعیف دارند (شکل ۶). هیچکدام از نمونه‌ها در گستره پرآلکالن قرار نگرفته است.

**ژئوشیمی عناصر نادر خاکی و کمیاب**  
محتوای مجموع عناصر REE در سنگ‌های مورد بررسی بالاست (بین ۳۶۱ ppm تا ۱۷۴ ppm). نسبت  $(\text{La/Yb})_{\text{N}}$  در



شکل ۶ بررسی شاخص اشباع از آلومین در سنگ‌های نفوذی مورد بررسی با استفاده از نمودار [۷].



شکل ۷ نمودار REE سنگ‌های گرانیتی مورد بررسی به تفکیک هر نمونه داده‌های بهنجار شده از [۲۹].

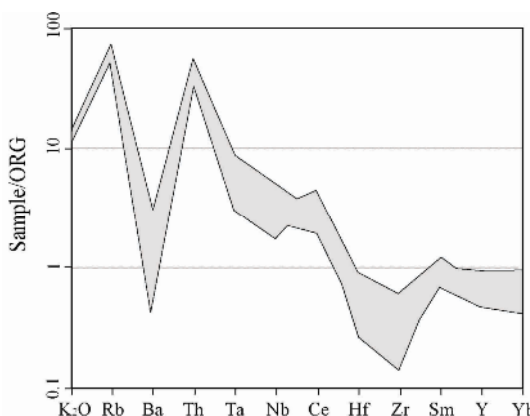
تجزیه SHRIMP را نشان می‌دهد. برای تجزیه‌ی کانی‌های زیرکن از مقطع نازک و صیقلی شده از زیرکن استاندارد (۹۱۵۰۰) با غلظت اورانیوم برابر با  $81.2 \text{ ppm}$  [۱۱] به عنوان کانی مقایسه‌ای استفاده شده است.

تبديل داده‌ها و محاسبه‌ی سن به روش [۱۲] و با استفاده از برنامه‌ی SQUID Excel Macro [۱۳] انجام گرفته است. برای بهنجار کردن  $\text{U}^{238}/\text{Pb}^{206}$  از زیرکن استاندارد ۹۱۵۰۰ به سن  $1062.4 \text{ میلیون سال}$  [۱۱] و از مقدار ثابت ۱۷۹۱۷ استفاده شده است. خطاهای داده شده برای تجزیه (نسبت‌های ایزوتوبی و سنی) برابر با  $1\sigma$  است، و مقادیر خطأ برای محاسبه‌ی سنین هماهنگ  $2\sigma$  در نظر گرفته شده است.

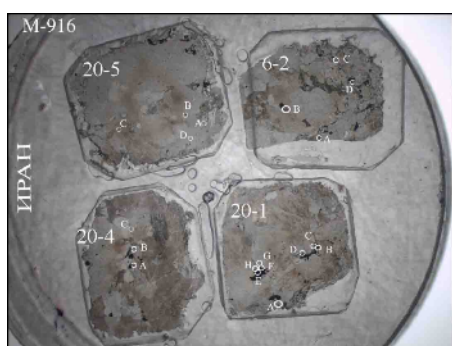
نتایج سنی به صورت نمودارهای هماهنگ [۱۴، ۱۵] با استفاده از برنامه‌ی ISOCHRON/EX رسم شده است.

در نمودارهای چند عنصری، سنگ‌های گرانیتی منطقه، بهنجار شده بر مبنای گرانیت فرضی پشتی میان اقیانوسی ORG [۹] یک روند کاهشی کاملاً مشخص از  $\text{Yb}$  تا  $\text{Rb}$  دیده می‌شود (شکل ۸). همچنین در این نمودار  $\text{Ba}$  بی‌هنجاری منفی شدیدی را نشان می‌دهد و عناصر  $\text{Rb}$  و  $\text{Th}$  به طور چشمگیری نسبت به عناصر  $\text{Nb}$  و  $\text{Ta}$  غنی شده‌اند. همچنین  $\text{Ce}$  و  $\text{Sm}$  نسبت به عناصر مجاور خود غنی‌شدگی نشان می‌دهند. چنین غنی‌شدگی‌های انتخابی به عنوان تسلط پوسته‌ای یاد شده است [۹]، و چنین الگویی به عنوان تسلط پوسته‌ای خوانده می‌شود. الگوی بدست آمده در این نمودارها همخوانی بسیار زیادی با توده‌های نفوذی سبالوکا [۱۰] دارد.

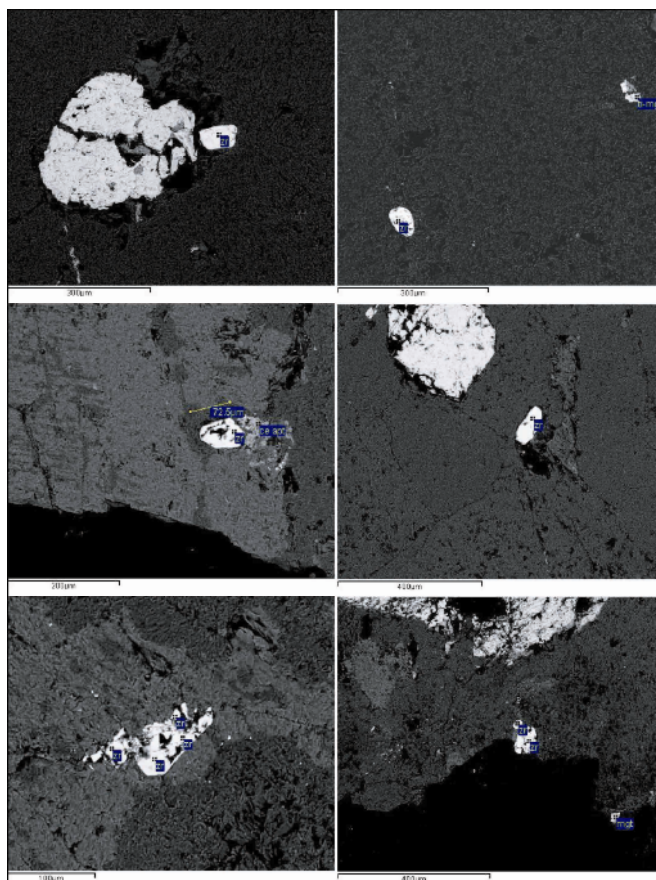
**سن سنجی رادیومتری توده**  
نمونه برداری، جدایش زیرکن و نتایج سال سنگی  
شکل ۹ آمده سازی یک مانت برای تجزیه‌ی شیمیابی و شکل ۱۰ تصاویر BSE کانی‌های زیرکن انتخاب شده در



شکل ۸ نمودارهای تغییرات فراوانی (عنکبوتی) عناصر اصلی و کمیاب گرانیت‌های مورد بررسی بهنجار شده نسبت به ORG [۹].



شکل ۹ تهیه‌ی یک مانت واحد از نمونه‌های زیرکن ارسالی به آزمایشگاه سنت پیترزبورگ روسیه.



شکل ۱۰ تصاویر BSE کانی‌های زیرکن تجزیه شده در گرانیت‌های مورد بررسی. اندازه کانی‌های زیرکن در بعضی نمونه‌ها تا ۱۰۰ میکرون می‌رسد.

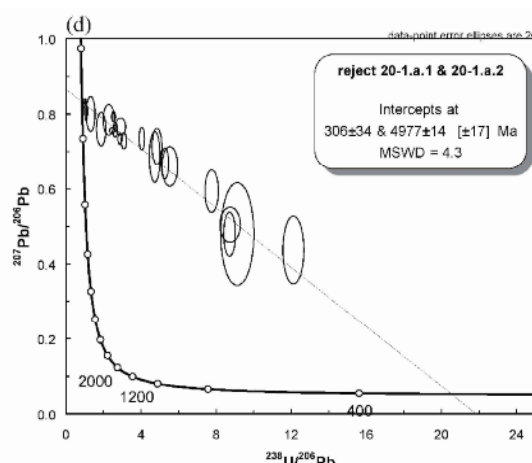
به سرب معمولی جدید وابسته است. به عبارت دیگر، برخوردگاه این خط با محور عرض‌ها، سرب معمولی جدید را نشان می‌دهد. برخوردگاه پائین این خط با نمودار هماهنگ نشان دهنده‌ی سن تشکیل زیرکن است. سن بدست آمده با این روش  $306 \pm 34$  میلیون سال است. این سن به دست آمده بدون در نظر گرفتن نمونه‌های 20-1.a.1 و 20-1.a.2 است. به دلیل MSWD بالای این دو نمودار رسم شده حذف شده‌اند.

تفسیر داده‌های ایزوتوپی U-Pb و تعیین سن توده هریس جدول ۲ داده‌های ایزوتوپی و سنی U-Pb زیرکن در گرانیت‌های مورد بررسی را نشان می‌دهد. در شکل ۱۱ نیز نمودارهای هماهنگ رسم شده با استفاده از داده‌های U-Pb دیده می‌شوند. در این نمودارها خط چین‌ها، خط اتصال بین سرب معمولی و سرب رادیوزنیک است و خط ناهمانگ به شمار نمی‌آید. در این نمودارها برخوردگاه بالای خط چین‌ها با نمودار هماهنگ وابسته به سن زیرکن بی معنی است و اساساً

جدول ۲ داده‌های ایزوتوبی و سنی U-Pb زیرکن در گرانیت‌های شمال غربی شبستر (هریس).

| Spot Name       | %     | ppm  | ppm | 232Th | ppm   | 204corr | 1s    | 207corr | 1s    | 208corr | 1s    | Total | %    | Total  | %    |
|-----------------|-------|------|-----|-------|-------|---------|-------|---------|-------|---------|-------|-------|------|--------|------|
|                 | comm  | U    | Th  | /238U | Rad   | 206Pb   | err   | 206Pb   | err   | 206Pb   | err   | 238   | err  | 207    | err  |
|                 | 206   |      |     |       | 206Pb | /238U   |       |         | /238U |         | /238U |       | /206 |        | /206 |
| Age             |       |      |     |       |       |         |       |         |       |         |       |       |      |        |      |
| <b>20-1-c.1</b> | ۹۶,۰۴ | ۴۳۰  | ۱۷۲ | ۰,۴۱  | ۳۵۵   | ۲۴۰,۷   | ۴۷,۴  | ۱۷,۶    | ۱۱۹,۱ | ۵۲۵,۷   | ۳۱۲,۳ | ۱,۰۴  | ۱,۸  | ۰,۸۳۳۷ | ۰,۳  |
| <b>20-1-d.1</b> | ۹۶,۳۱ | ۱۴۸  | ۶۳  | ۰,۴۴  | ۵۰,۱  | ۹۳      | ۴۵,۹  | ۱۳۶,۷   | ۴۸,۱  | ۳۲۱,۹   | ۱۲۵,۲ | ۲,۵۴  | ۱,۶  | ۰,۷۹۳  | ۰,۷  |
| <b>20-1-d.2</b> | ۹۵,۰۹ | ۲۹۶  | ۱۲۲ | ۰,۴۶  | ۱۱۱,۶ | ۱۳۷,۴   | ۴۹,۳  | ۱۸۰,۷   | ۷۶,۸  | ۵۲۶,۴   | ۲۲۵,۸ | ۲,۲۸  | ۵,۳  | ۰,۷۸۵  | ۲,۱  |
| <b>20-1-d.3</b> | ۹۸,۰۲ | ۲۳۴  | ۸۷  | ۰,۳۸  | ۲۱۷,۵ | ۱۳۵,۹   | ۳۶,۹  | ۱۰۴,۱   | ۱۳۰,۷ | ۶۸۵,۴   | ۴۳۶,۸ | ۰,۹۳  | ۳,۶  | ۰,۸۲۴  | ۰,۳  |
| <b>20-1-d.4</b> | ۸۸,۲۹ | ۲۸۸  | ۱۳۱ | ۰,۴۷  | ۶۱,۳  | ۱۸۴,۱   | ۴۲,۵  | ۲۰۲,۲   | ۳۵,۶  | ۳۶۴,۴   | ۷۴,۵  | ۴,۰۴  | ۱,۴  | ۰,۷۳۴  | ۱,۷  |
| <b>20-1-f.1</b> | ۸۲,۲۸ | ۲۵۴  | ۱۳۵ | ۰,۵۵  | ۴۶,۱  | ۲۳۶,۹   | ۳۵,۸  | ۲۵۶,۱   | ۵۱,۵  | ۳۸۶,۳   | ۷۴,۲  | ۴,۷۳  | ۲,۵  | ۰,۶۸۵  | ۴,۱  |
| <b>20-1-f.2</b> | ۹۰,۹۵ | ۲۳۷  | ۱۱۲ | ۰,۴۹  | ۷۰    | ۱۹۷,۴   | ۱۷,۳  | ۱۹۱,۶   | ۴۵,۹  | ۴۶۰,۹   | ۱۴۶,۱ | ۲,۹۱  | ۳,۸  | ۰,۷۶۷  | ۱,۲  |
| <b>20-1-e.1</b> | ۹۶,۸۶ | ۲۲۳  | ۱۳۹ | ۰,۴۴  | ۲۵۶,۸ | ۱۸۴,۵   | ۸۶,۲  | ۲۱۶,۵   | ۱۲۹,۳ | ۶۸۳,۲   | ۳۶۰,۸ | ۱,۰۸  | ۳    | ۰,۸۰۷  | ۱,۲  |
| <b>20-1-g.1</b> | ۹۵,۰۵ | ۲۹۴  | ۱۰۹ | ۰,۳۸  | ۹۶    | ۱۲۰,۴   | ۴۲,۷  | ۲۳۸,۵   | ۴۷,۹  | ۵۴۶,۷   | ۱۳۰,۸ | ۲,۶۳  | ۱,۸  | ۰,۷۵۸  | ۱,۱  |
| <b>20-1-a.1</b> | ۷۳,۱۳ | ۱۷۵  | ۷۴  | ۰,۴۴  | ۲۲    | ۳۵۹,۷   | ۲۰,۶  | ۳۷۱     | ۲۰,۹  | ۴۶۳,۷   | ۵۱,۷  | ۴,۶۸  | ۱,۶  | ۰,۶۱۹  | ۰,۸  |
| <b>20-4-b.1</b> | ۸۸,۷۵ | ۱۵۵۱ | ۲۷۴ | ۰,۱۸  | ۴۶۲,۷ | ۲۴۷     | ۲۹,۸  | ۲۸۴,۵   | ۳۹,۶  | ۳۹۳,۴   | ۹۹,۸  | ۲,۸۸  | ۱,۵  | ۰,۷۳۴۱ | ۰,۸  |
| <b>20-4-a.1</b> | ۵۹,۲۴ | ۳۲۸  | ۵۱  | ۰,۱۶  | ۲۲۲,۳ | ۲۹۴,۶   | ۲۰,۷  | ۲۲۸,۶   | ۲۳۳,۳ | ۳۷۲,۵   | ۸۴,۲  | ۸,۷۲  | ۱,۵  | ۰,۴۷۹۱ | ۵    |
| <b>20-4-a.2</b> | ۵۶,۸  | ۲۱۷  | ۷۶  | ۰,۳۶  | ۲۱,۳  | ۳۱۰,۷   | ۲۴,۹  | ۳۰,۵    | ۲۰,۴  | ۳۵۷     | ۳۶,۷  | ۸,۷۵  | ۲,۵  | ۰,۵۰۳۹ | ۳,۸  |
| <b>20-4-c.1</b> | ۹۴,۴۷ | ۲۰۷  | ۹۳  | ۰,۴۶  | ۹۵    | ۱۸۷,۲   | ۹۰,۴  | ۳۲۵,۱   | ۹۶,۷  | ۵۷۸,۸   | ۲۸۲   | ۱,۸۸  | ۰,۴  | ۰,۷۶   | ۲,۴  |
| <b>6-2-a.1</b>  | ۸۵,۷۷ | ۴۴۲  | ۱۹۳ | ۰,۴۵  | ۷۸,۲  | ۱۸۶,۵   | ۴۸,۳  | ۲۰۳,۱   | ۳۸,۹  | ۳۱۵,۱   | ۹۷,۷  | ۴,۸۵  | ۲,۲  | ۰,۷۱۴  | ۲,۸  |
| <b>6-2-a.2</b>  | ۸۲,۴  | ۵۸۰  | ۲۶۰ | ۰,۴۶  | ۹۰,۱  | ۲۰۱,۸   | ۴۹,۳  | ۲۵۶     | ۳۶,۴  | ۳۲۴,۱   | ۶۹    | ۰,۵۳  | ۳,۱  | ۰,۶۶۰۱ | ۲,۳  |
| <b>6-2-b.1</b>  | ۵۶,۱  | ۷۲۹  | ۴۳  | ۰,۰۶  | ۶۸,۶  | ۳۰۲,۸   | ۵۷,۲  | ۳۱۳,۷   | ۵۰,۳  | ۳۵۱,۳   | ۱۲۲   | ۹,۱۳  | ۳,۹  | ۰,۴۷۹۴ | ۱۱,۶ |
| <b>6-2-b.2</b>  | ۵۰,۴۳ | ۶۳۸  | ۳۸۹ | ۰,۶۳  | ۴۵,۲  | ۲۵۸,۴   | ۲۴,۶  | ۲۶۵,۲   | ۲۵,۱  | ۲۸۹,۹   | ۲۸,۸  | ۱۲,۱۲ | ۱,۹  | ۰,۴۳۶۸ | ۸,۴  |
| <b>20-5-d.1</b> | ۸۷,۳۴ | ۵۴۱  | ۱۸۹ | ۰,۳۶  | ۱۵۰,۶ | ۲۵۹,۱   | ۵۶,۱  | ۲۷۹,۷   | ۴۰,۶  | ۴۹۳,۹   | ۹۶,۱  | ۳,۰۹  | ۱,۹  | ۰,۷۲۸۷ | ۱,۲  |
| <b>20-5-b.1</b> | ۹۶,۷۹ | ۲۵۴  | ۱۰۷ | ۰,۴۳  | ۱۶۵,۶ | ۱۵۵,۱   | ۱۴۸,۹ | ۲۱۷,۱   | ۱۴۳,۹ | ۷۱۲,۷   | ۵۳۸,۳ | ۱,۳۲  | ۷,۲  | ۰,۸۰۰۵ | ۲,۴  |
| <b>20-5-b.2</b> | ۸۰,۱۹ | ۲۸۹  | ۱۲۲ | ۰,۴۴  | ۴۷,۱  | ۲۳۷,۹   | ۳۸,۷  | ۲۵۶,۷   | ۳۱,۶  | ۳۸۰,۱   | ۶۶,۵  | ۵,۲۷  | ۱,۶  | ۰,۶۶۸  | ۲,۶  |
| <b>20-1-a.2</b> | ۹۳,۹۳ | ۱۷۱  | ۵۳  | ۰,۳۲  | ۲۸,۳  | ۴۳۲,۶   | ۵۶,۶  | ۳۸۴,۵   | ۱۸,۴  | ۴۸۱,۷   | ۴۷,۴  | ۵,۲   | ۱,۶  | ۰,۵۸۶۳ | ۰,۹  |
| <b>20-1-b.2</b> | ۹۴,۶۷ | ۱۶۹  | ۷۶  | ۰,۴۶  | ۵۸,۹  | ۱۳۸,۱   | ۸۸,۴  | ۲۶۱     | ۴۵    | ۴۰۵,۴   | ۱۴۱,۹ | ۲,۴۶  | ۲,۲  | ۰,۷۵۶۲ | ۰,۴  |
| <b>6-2-b.3</b>  | ۷۷,۴۸ | ۴۸۹  | ۸۹  | ۰,۱۹  | ۵۴,۱  | ۲۲۴,۶   | ۲۸,۲  | ۲۵۱,۷   | ۲۶,۳  | ۲۷۳,۱   | ۵۷,۸  | ۷,۷۶  | ۱,۹  | ۰,۵۹۳۵ | ۲,۹  |

Errors are 1s, error of standards is 0.63%



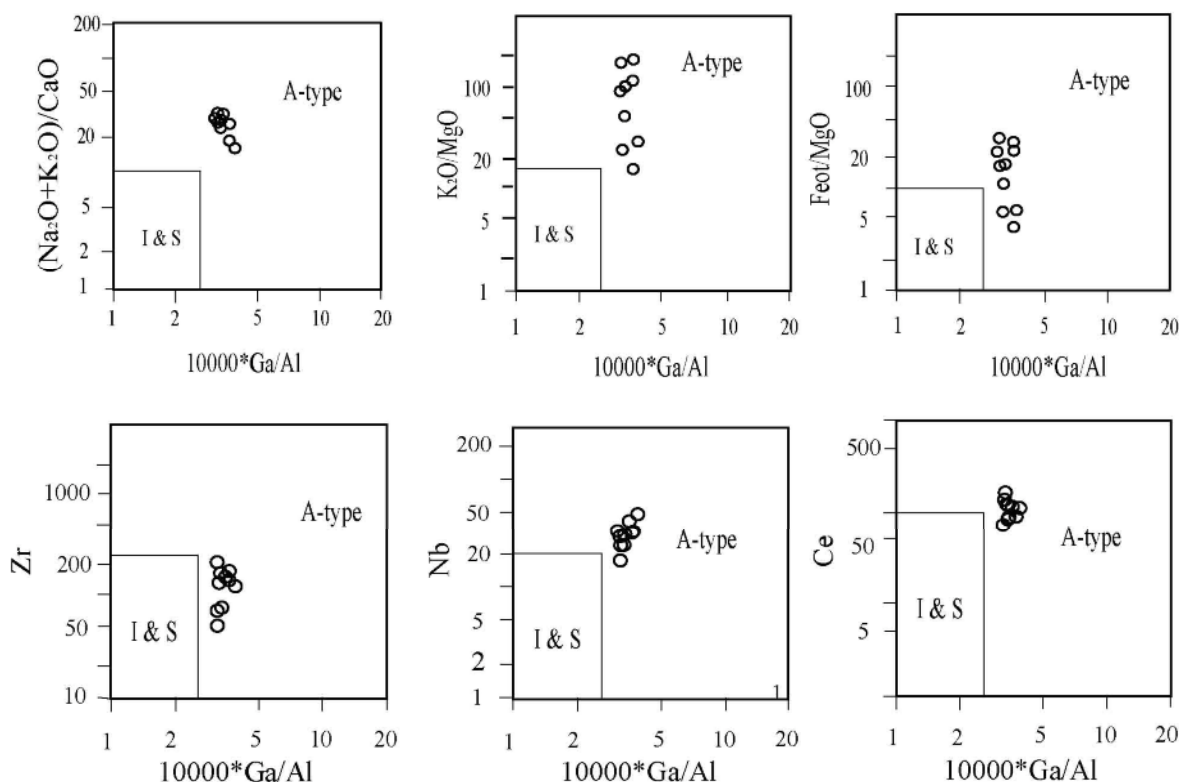
شکل ۱۱ نمودار  $\frac{^{207}\text{Pb}}{^{206}\text{Pb}}$  نسبت به  $\frac{^{238}\text{U}}{^{206}\text{Pb}}$  و رسم خط اتصال بین سرب معمولی و سرب رادیوزنیک. در این حالت نمونه‌های 20-1.a.1 و 20-1.a.2 در نظر گرفته نشده‌اند. بر این اساس سن تبلور زیرکن‌ها  $30.6 \pm 3.4$  میلیون سال به دست آمده است. (MSWD=4.3)

توسط [۱۷]، طراحی شده‌اند (شکل ۱۲) گرانیت‌های مورد بررسی ویژگی گرانیت‌های نوع A را نشان می‌دهند. مقادیر بالای HFSEs و نسبت بالای  $(\text{K}_2\text{O} + \text{Na}_2\text{O})/\text{CaO}$  در گرانیت‌های مورد بررسی نشان می‌دهد که این گرانیت‌ها به نوع A وابسته‌اند. همچنین حضور بیوتیت‌های میان روزنے‌ای (که در نمونه‌های مورد بررسی به کلریت تبدیل شده‌اند) ویژگی نوع A آن‌ها را تایید می‌کند [۲۰-۲۲]. با توجه به حضور گسترده‌ی پرتیت در این سنگ‌ها می‌توان گفت که مagma‌ای تشکیل دهنده‌ی این سنگ‌ها magma‌ای خشکی بوده است. مقادیر بالای HFSEs در گرانیت‌های نوع A مورد بررسی، خشک بودن خاستگاه magma‌ای تشکیل دهنده‌ی این سنگ‌ها را تایید می‌کند [۱۷-۲۳]. مشاهده‌ی بافت دانه‌ای در این سنگ‌ها نشان‌گر تبلور در عمق کم این سنگ‌هاست. محتوای نسبتاً پایین REEs در گرانیت‌های نوع A مورد بررسی به یک خاستگاه فقیر از پیروکسن دلالت دارد [۲۴].

## بحث و بررسی

### بررسی نوع گرانیت و سنگ خاستگاه

در گرانیت‌های مورد بررسی گرچه کانی‌های مافیک قلیایی از قبیل اژیرین- اوزیت و ریبکیت- آرافودسونیت دیده نمی‌شود، ولی این سنگ‌ها با داشتن فلدسپارهای پرتیتی قلیایی فراوان می‌توانند به عنوان گرانیت‌های قلیایی تلقی شوند. سنگ‌های گرانیتی بر اساس ویژگی‌های سنگ خاستگاه به گروه‌های I, A, S و M رده بندی می‌شوند. گرچه تلاش‌های زیادی برای جداکردن گرانیت‌های نوع A از انواع دیگر صورت گرفته است [۱۶-۱۸] ولی تشخیص گرانیت‌های نوع A از گرانیت‌های نوع I شدیداً تغیریکی یافته، دشوار است. به طور کلی گرانیت‌های نوع A مقادیر بالاتری از  $\text{K}_2\text{O}/\text{Al}$ ,  $\text{Fe}/\text{Mg}$ ,  $\text{Na}_2\text{O} + \text{K}_2\text{O}$  و مقادیر پائین‌تری از  $\text{CaO}$ ,  $\text{Sr}$  و  $\text{Eu}$  نسبت به انواع HFSEs ندارند [۲۰-۲۲] این ویژگی‌ها تماماً در گرانیت‌های مورد بررسی دیده می‌شوند. همچنین در مجموعه‌ای از نمودارها که بر اساس عناصر اصلی و کمیاب (به ویژه  $\text{Ga}/\text{Al}$  ۱۰۰۰۰)



شکل ۱۲ نمودارهای تمیز انواع گرانیت‌ها بر اساس عناصر اصلی و قرارگیری آن‌ها در گستره‌ی نوع A [۱۷].  
[I & S = unfractionated I & S-type granites]

### بررسی محیط زمین ساختی

براساس بررسی های ژئوشیمیابی، گرانیت های مورد بررسی از نوع گرانیت های نوع A هستند. این گرانیت ها برخلاف انواع دیگر گرانیت و نیز (I-, S-type) در محیط های کششی ظاهر می شوند. در این محیط های کششی می توان به دو محیط کششی پس از برخورد و کشش های درون صفحه ای وابسته به تشکیل ریفت اشاره کرد. گرانیت های تشکیل شده در این دو محیط رفتار ژئوشیمیابی متفاوتی دارند به طوری که در نمودارهای چند عنصری به هنجار شده نسبت به [۹] ORG (شکل ۸) در گرانیت های درون صفحه ای Ba ناهنجار منفی بیشتری را نسبت به گرانیت های پس از برخورد نشان می دهد و مقادیر Yb، Nb، Ta، Zr در گرانیت های درون صفحه ای بیشتر از گرانیت های پس از برخورد است. بر این اساس گرانیت های مورد بررسی از نوع گرانیت های درون صفحه ای هستند. همچنین استفاده از نمودارهای تمیز زمین ساختی [۹] نیز همین نتیجه را به دست داده است (شکل ۱۳). سن  $30.6 \pm 3.4$  میلیون سال به دست آمده به روش U-Pb زیرکن در این گرانیت ها با سن کشش های آغازین کافت زایی روی تختگاه پوسته ای قاره ای عربی - ایران سازگار است.

### برداشت

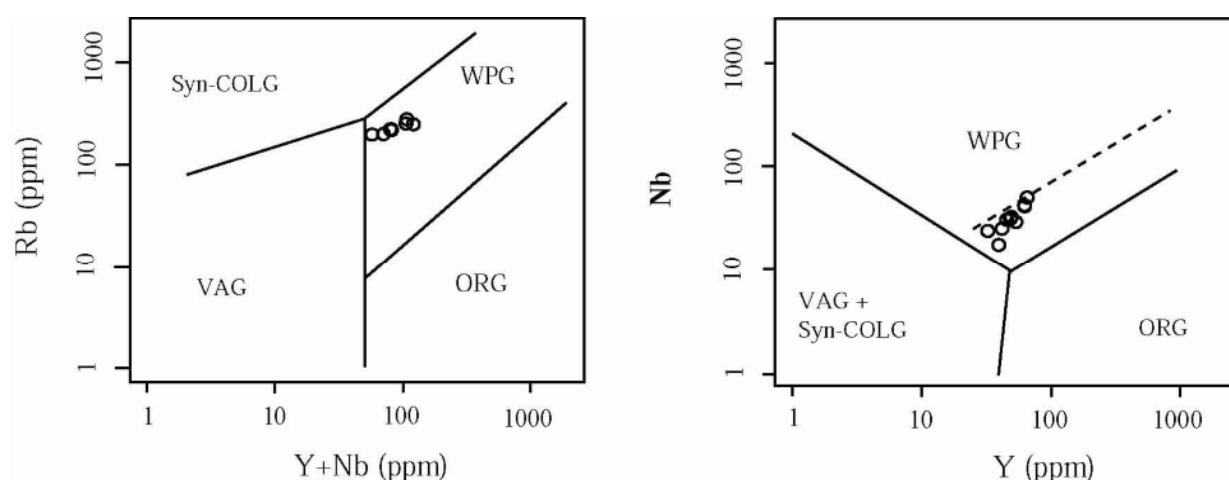
به طور کلی بر اساس بررسی های صحرایی، زمین گاه شماری و پتروژنر توده نتایج زیر حاصل شده اند:

- ۱- ترکیب شیمیابی سنگ های آذرین مورد بررسی گرانیت و گرانیت قلایی تعیین شده است.
- ۲- گرانیت های مورد بررسی با سازنده ای پرمین پوشیده شده و سازند سلطانیه با این گرانیت تبلور دوباره یافته است. بنابراین سن نسبی آن ها به پسا کامبرین و پیش پرمین نسبت داده می شود.
- ۳- بر اساس شاخص اشباع از آلومین، گرانیت های مورد بررسی ویژگی شبیه آلومینی تا پرآلومینی ضعیف دارند.
- ۴- نمودار REE این گرانیت ها نشان می دهد که این سنگ ها از یک خاستگاه جدایش دارای پلازیوکلاز حاصل شده اند و یا پلازیوکلاز در طول روند تکاملی از ماقمای تشکیل دهنده جدا شده است.

دو پیکربندی اصلی برای خاستگاه گرانیت های نوع A ارائه شده اند: (۱) تبلور جدایشی بالای ماقمای مافیک مادر مشتق شده از گوشه [۲۰]، و (۲) ذوب بخشی سنگ های پوسته ای از [۱۹-۲۵]. با این حال نظریه ای تشکیل گرانیت های نوع A از خاستگاه همزمان پوسته ای و گوشه ای تو سط [۱۸] حمایت شده است. گرانیت های مورد بررسی تهی شدگی از عناصر  $\text{MgO}$ ,  $\text{CaO}$ ,  $\text{Al}_2\text{O}_3$ ,  $\text{Sr}, \text{Fe}_2\text{O}_3$  تبلور جدایشی بالای آنها از یک ماقمای کمتر جدایشی است. ولی تکامل گرانیت های مورد بررسی تنها در اثر فرایند تبلور جدایشی از یک ماقمای مشتق شده از گوشه با توجه به عدم حضور حجم های عظیمی از سنگ های مافیک همزمان قابل توجیه نیست. از طرف دیگر بررسی های آزمایشگاهی و ژئوشیمیابی نشان می دهد که گرانیت های نوع A در دمای بیش از هماندهای آهکی - قلایی تشکیل می شوند [۲۶] که نشان می دهد تبلور جدایشی بالا از یک خاستگاه ماقمای مافیک نمی تواند خاستگاه محتمل برای ژنر گرانیت های نوع A باشد.

بررسی های اخیر تو سط [۲۷] نشان می دهد که ماقمای نوع A در نتیجه ای ذوب سنگ مادر تونالیتی - گرانودیوریتی در فشار کم به وجود می آید. به نظر می رسد این مدل، مدل زنتیکی قابل قبول برای گرانیت های مورد بررسی باشد. این مدل تهی شدگی Ba و Sr که از ویژگی های گرانیت های نوع A است را به خوبی توجیه می کند. در فشار ۴ کیلوبار و ذوب بخشی ۲۰ تا ۴۰ درصد، پلازیوکلاز و ارتوپیروکسن فاز های باقیمانده از ذوب سنگ مادر آذرین هورنبلن دار است. تبلور گسترده ای پلازیوکلاز در طول مراحل اولیه جدایش، تهی شدگی Eu و Sr,  $\text{CaO}$ ,  $\text{Al}_2\text{O}_3$  را مشابه گرانیت های نوع A سبب می شود. گذشته از این، تبلور، پلازیوکلاز موجب غنی شدگی Ga نسبت به Al و در نتیجه بالا رفتن نسبت Ga/Al در گدازه های گرانیتی نوع A می شود [۲۸].

بنابر بررسی های [۳] نیز سنگ های نفوذی هریس حاصل ذوب بخشی پوسته ای تحتانی با ترکیب تونالیتی - گرانودیوریتی است.



شکل ۱۳ نمودارهای تمیز زمین‌ساختی بر اساس عناصر کمیاب [۹].

#### مراجع

- [۱] افتخار نژاد ج، قرشی م، مهرپرتو م، ارشدی س، زهره بخش ا، بلورچی مح، سعیدی ا، نقشه زمین‌شناسی ۲۵۰۰۰۰۱: تبریز- پلدشت، سازمان زمین‌شناسی و اکتشافات معدنی ایران، (۱۳۷۰).
- [۲] اسدیان ع، راستگار م.ع، محجل م، حاج علیلو ب، نقشه زمین‌شناسی ۱:۱۰۰۰۰۰ مرند، سازمان زمین‌شناسی و اکتشافات معدنی ایران، (۱۳۷۳).
- [۳] پیرمحمدی علیشاھ ف، "تحقیق و بررسی پترولسوئی و پتروگرافی توده آذرین شمال روستای هریس واقع در کوههای میشو، پایان‌نامه کارشناسی ارشد. دانشگاه تبریز، دانشکده علوم طبیعی، گروه زمین‌شناسی، (۱۳۸۴).
- [۴] Streckeisen A., "Classification and nomenclature of plutonic rocks", Geologische Rundschau 63 (1974) 773–786.
- [۵] Middlemost E.A.K., "Naming materials in the magma/igneous rock system", Earth Sci. Rev., 37, (1994) 215-224.
- [۶] De La Roche H., Leterrier J., Grandlauale P., Marcher M., "A classification of volcanic and plutonic rocks using RI- R2 diagrams and major element analysis", Chem. Geol. Vol. 29 (1980).
- [۷] Shand S. J., "The Eruptive Rocks", 2nd edn. New York, John Wiley, (1943) 444 pp.

۵- نمودار چندعنصری به هنجارشده نسبت به ORG نشانگر خاستگاه پوسته‌ای برای این گرانیت‌هاست.

۶- گرانیت‌های مورد بررسی ویژگی درون صفحه‌ای داشته و از نوع گرانیت‌های A محسوب می‌شوند.

۷- خاستگاه این گرانیت‌ها احتمالاً در اثر ذوب بخشی پوسته‌ی تحتانی با ترکیب تونالیتی - گرانودیوریتی است.

۸- سن سنجی رادیومتری به روش U/Pb روی کانی‌های زیرکن توده‌ی هریس، زمان  $306 \pm 34$  میلیون سال معادل کربونیفیر پایانی را برای تبلور زیرکن و به پیروی از آن برای سرد شدن توده‌ی گرانیتی را نشان می‌دهد. این سن با کشش‌های آغازین کافت‌زایی روی تختگاه پوسته‌ی قاره‌ای عربی - ایران سازگار است.

#### قدرتمندی

این مقاله حاصل بخشی از طرح پژوهشی است که در دانشگاه آزاد اسلامی واحد اهر به تصویب رسیده است. لذا از حمایت‌های مالی معاونت پژوهشی آن واحد محترم تقدير و تشکر می‌شود. از آقای دکتر محسن موذن استاد دانشگاه تبریز از بابت راهنمایی‌های ارزنده و کمک در ارسال نمونه‌های ایزوتوپی به روسیه سپاسگزاری می‌شود. همچنین از دیدگاه‌های سازنده‌ی داوران محترم این مجله تقدير و تشکر می‌شود.

- discrimination and petrogenesis", Contributions to Mineralogy and Petrology 95 (1987) 407- 419.*
- [18] Eby G. N., "The A-Type granitoides: A Review fo their occurece and characteristics and speculations on their petrogenesis", Lithos 26 (1990) 115-134.
- [19] King P.L., White A.J.R., Chappell B.W., Allen C.M., "Characterization and origin of aluminous A-type granite from the Lachlan fold belt, Southeastern Australia", Journal of petrology 38 (1997) 371-391.
- [20] Bonin B., "A-type granites and related rocks: Evolution of a concept and prospects", Lithos, 97 (2007) 1-29.
- [21] Ewart A., Marsh J.S., Milner S.C., Duncan A.R., Kamber B.S., Armstrong R.A., "Petrology and geochemistry of early Cretaceous bimodal continental flood volcanism of the NW Etendeka, Namibia. Part 2: characteristics and petrogenesis of the high-Ti latite and high-Ti and low-Ti voluminous quartz latite eruptions", Journal of Petrology 45 (2004) 107-138.
- [22] Landenberger B., Collins W.J., "Derivation of A-type granites from a dehydrated charnockitic lower crust: evidence from the Chaelundi Complex, eastern Australia", Journal of Petrology 37 (1996) 145-170.
- [23] Bonin B., "A-type granites and related rocks: Evolution of a concept, problems and prospects", Lithos, Special Issue on A-type Granites and Related Rocks Through Time 97, (2007) 1-29.
- [24] Mark G., "Petrogenesis of Mesoproterozoic K-rich granitoids, southern Mt Angelay igneous complex, Cloncurry district, northwest Queensland", Australian Journal of Earth Sciences 46 (1999) 933-949.
- [25] Creaser R.A., Price R.C., Wormold R.J., "A-type granite revised: assessment of residual source model", Geology 19 (1991) 163-166.
- [26] King P.L., Chappell B.W., Allen C.M., White A.J.R., "Are A-type granites the high-temperature felsic granites? Evidence from fractionated granites of the Wangrah suite", Australian Journal of Earth Sciences 48 (2001) 501-514.
- [8] Hergt J., Woodhead J., Schofield A., "A-type magmatism in the Western Lachlan Fold Belt? A study of granites and rhyolites from the Grampians region, Western Victoria", Lithos, Special Issue on A-type Granites and Related Rocks Through Time 97, (2007) 122-139.
- [9] Pearce J.A., Harris N.B.W., Tindle A.G., "Trace element discrimination diagrams for the tectonic interpretation of granitic rocks", Journal of Petrology 25 (1984) 956-983.
- [10] Harris N.B.W., Duyverman H.J., Almond D.C., "The trace element and isotope geochemistry of the Sabaloka igneous complex, Sudan", J. Geol. Soc. Lon. 140 (1983) 245-256.
- [11] Wiedenbeck M., Allé P., Corfu F., Griffin W.L., Meier M., Oberli F., von Quadt A., Roddick J.C., Spiegel W., "Three natural zircon standards for U-Th-Pb, Lu-Hf, trace element and REE analyses", Geostandards Newsletter, 19 (1) (1995) 1-23.
- [12] Williams I.S., "U- Th- Pb geochronology by ion microprobe. In: Mckibben, M.A., Shanks, W.C. and Ridley, W.I. (eds). Applications of Micro analytical Techniques to Understanding Mineralization Processes", Reviews in Economic Geology 7 (1998) 1-35.
- [13] Ludwig K. R., "Users' Manual for Isoplot/Ex Version 2, Geochronological Toolkit for Microsoft Excel", Berkeley Geochronology Center, Special Publication 1 (1999) 60.
- [14] Tera F., Wasserburg G. J., "A response to a comment on U-Pb systematics in lunar basalts", Earth and Planetary Science Letters 19 (1973) 213-217.
- [15] Wetherill G.W., "Discordant uranium-lead ages" Trans American Geophysical Union, 37 (1956) 320-326.
- [16] Loiselle M.C., Wones D.R., "Characteristics and origin of anorogenic granites", Abstracts of papers to be presented at the Annual Meetings of the Geological Society of America and Associated Societies, San Diego, California, November 5-8, vol. 11 (1979) p. 468.
- [17] Whalen J.B., Currie K.L., Chappell B.W., "A-type granites: geochemical characteristics,

- diopside*", *Geochemica et Cosmochimica Acta*, 51 (1987) 2117-2128.
- [29] Boynton W.V., "Cosmochemistry of the rare earth elements: meteorite studies", In: Henderson, P., (Ed.), *Rare Earth Element Geochemistry*, Elsevier, Amsterdam (1984) 63-114.
- [27] Patiño Douce A.E., "Generation of metaluminous A-type granites by low-pressure melting of calc-alkaline granitoids", *Geology* 25 (1997) 743-746.
- [28] Malvin D. J., Drake M. J., "Experimental determination of crystal/melt Partitionning of Ga and Ge in the system forsterite-anorthite-